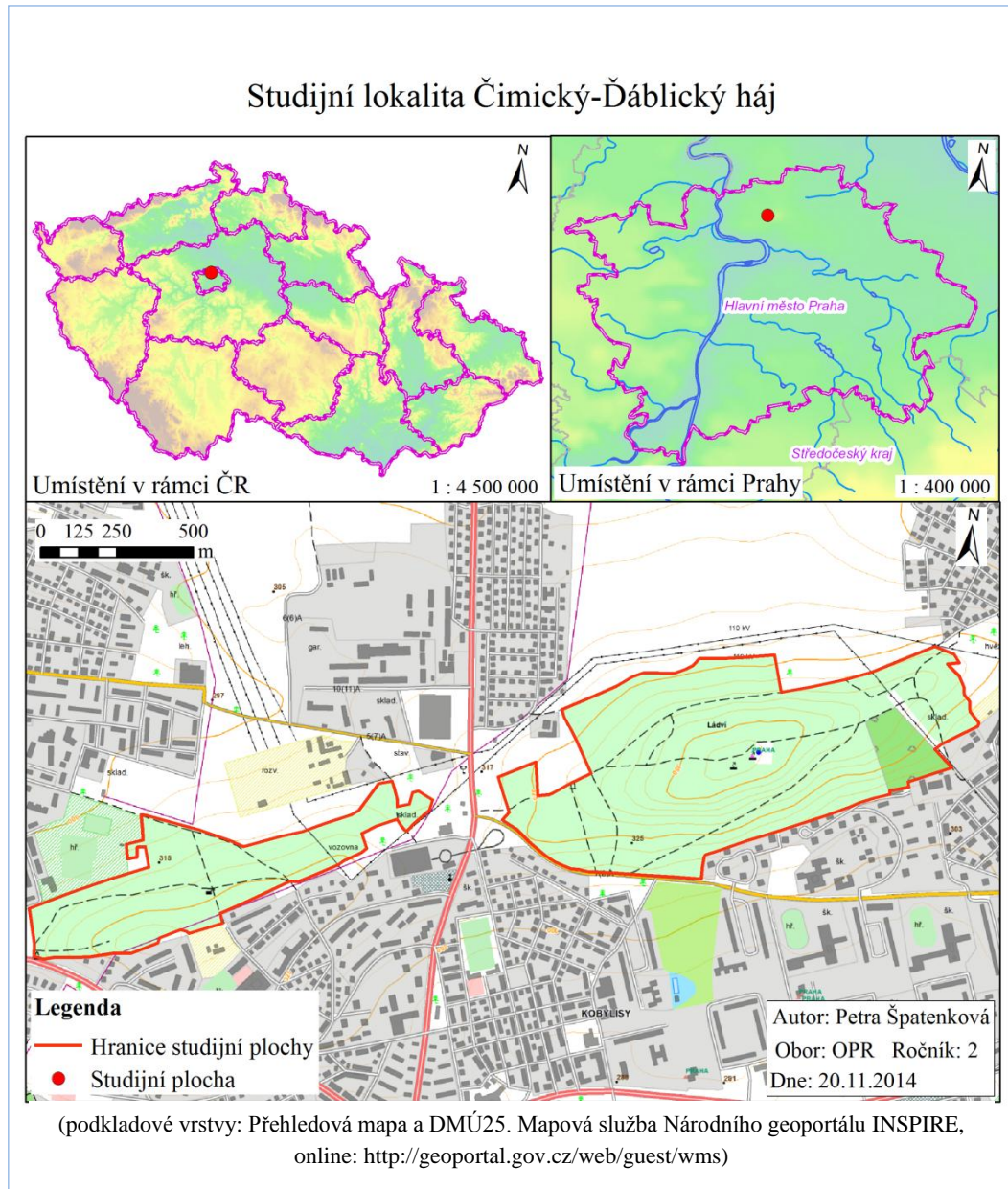


Přílohy

Příloha č. 1: Mapa studijní plochy a jejího umístění v rámci Prahy a České republiky.



Příloha č. 2: Přehled sledovaných parametrů barvy karotenoidního ornamentu samic.

Parametr barvy	Charakteristika
B ₁	celkový jas (total brightness): součet reflektance R ₃₀₀ až R ₇₀₀
B ₂	průměrný jas (mean brightness): průměr reflektance R ₃₀₀ až R ₇₀₀
UV_sumaR	součet reflektance ve spektru UV (v rozmezí 300–399 nm)
Y_sumaR	součet reflektance ve žluto-oranžovém spektru (550–625 nm)
V_sumaR	součet reflektance ve viditelném spektru (400–700 nm)
UV_R _{max}	maximální hodnota reflektance ve spektru UV
UV_R _{min}	minimální hodnota reflektance ve spektru UV
UV_R _{average}	průměrná hodnota reflektance ve spektru UV
UV_chroma_S ₈	chroma pro UV oblast světelného spektra: $(UV_R_{max} - UV_R_{min}) / UV_R_{average}$
UV_chroma_S ₁	chroma pro UV oblast světelného spektra: UV_sumaR / B_1
Y_chroma_S ₁	chroma pro žluto-oranžové spektrum: Y_sumaR / B_1
R ₄₅₀	reflektance na 450 nm
R ₇₀₀	reflektance na 700 nm
Caroten_chroma	chroma pro žluté karotenoidy: $(R_{700} - R_{450}) / R_{700}$
V_R _{max}	maximální hodnota reflektance ve viditelném spektru
V_R _{min}	minimální hodnota reflektance ve viditelném spektru
V_R _{average}	průměrná hodnota reflektance ve viditelném spektru
V_chroma_S ₈	chroma pro oblast viditelného spektra: $(V_R_{max} - V_R_{min}) / V_R_{average}$
V_chroma_S ₁	chroma pro oblast viditelného spektra: V_sumaR / B_1
UV_L _{Rmax}	hue pro UV oblast světelného spektra – vlnová délka (L) s maximální hodnotou reflektance (R) v UV spektru (λ_{Rmax})
UV_L _{Rmin}	hue pro UV oblast světelného spektra – L s minimální R v UV spektru (λ_{Rmin})
UV_L _{R1/2}	hue pro UV oblast světelného spektra – střední vlnová délka mezi minimální a maximální R v UV spektru (λ_{Rmid}): $(UV_L_{Rmax} + UV_L_{Rmin}) / 2$
Y_L _{Rmax}	hue pro žluto-oranžové spektrum – L s maximální R ve žluto-oranžovém spektru (λ_{Rmax})
Y_L _{Rmin}	hue pro žluto-oranžové spektrum – L s minimální R ve žluto-oranžovém spektru (λ_{Rmin})
Y_L _{R1/2}	hue pro žluto-oranžové spektrum – střední vlnová délka mezi minimální a maximální R ve žluto-oranžovém spektru (λ_{Rmid}): $(Y_L_{Rmax} + Y_L_{Rmin}) / 2$
V_L _{Rmax}	hue pro viditelné spektrum – L s maximální R ve viditelném spektru (λ_{Rmax})
V_L _{Rmin}	hue pro viditelné spektrum – L s minimální R ve viditelném spektru (λ_{Rmin})
V_L _{R1/2}	hue pro viditelné spektrum – střední vlnová délka mezi minimální a maximální R viditelného spektra (λ_{Rmid}): $(V_L_{Rmax} + V_L_{Rmin}) / 2$

Příloha č. 3: Přehled sledovaných parametrů podkladové barvy a skvrnitosti vaječné skořápky.

Parametr	Charakteristika
Podkladová barva vaječné skořápky:	
B ₁	celkový jas (total brightness): součet reflektance R ₃₀₀ až R ₇₀₀
B ₂	průměrný jas (mean brightness): průměr reflektance R ₃₀₀ až R ₇₀₀
UV_sumaR	součet reflektance ve spektru UV (v rozmezí 300–399 nm)
V_sumaR	součet reflektance ve viditelném spektru (400–700 nm)
UV_R _{max}	maximální hodnota reflektance ve spektru UV
UV_R _{min}	minimální hodnota reflektance ve spektru UV
UV_R _{average}	průměrná hodnota reflektance ve spektru UV
UV_chroma_S ₈	chroma pro UV oblast světelného spektra: $(UV_R_{max} - UV_R_{min}) / UV_R_{average}$
UV_chroma_S ₁	chroma pro UV oblast světelného spektra: UV_sumaR / B_1
V_R _{max}	maximální hodnota reflektance ve viditelném spektru
V_R _{min}	minimální hodnota reflektance ve viditelném spektru
V_R _{average}	průměrná hodnota reflektance ve viditelném spektru
V_chroma_S ₈	chroma pro oblast viditelného spektra: $(V_R_{max} - V_R_{min}) / V_R_{average}$
V_chroma_S ₁	chroma pro oblast viditelného spektra: V_sumaR / B_1
UV_L _{Rmax}	hue pro UV oblast světelného spektra – vlnová délka (L) s maximální hodnotou reflektance (R) v UV spektru (λ_{Rmax})
UV_L _{Rmin}	hue pro UV oblast světelného spektra – L s minimální R v UV spektru (λ_{Rmin})
UV_L _{R1/2}	hue pro UV oblast světelného spektra – střední vlnová délka mezi minimální a maximální R v UV spektru (λ_{Rmid}): $(UV_L_{Rmax} + UV_L_{Rmin}) / 2$
V_L _{Rmax}	hue pro viditelné spektrum – L s maximální R ve viditelném spektru (λ_{Rmax})
V_L _{Rmin}	hue pro viditelné spektrum – L s minimální R ve viditelném spektru (λ_{Rmin})
V_L _{R1/2}	hue pro viditelné spektrum – střední vlnová délka mezi minimální a maximální R viditelného spektra (λ_{Rmid}): $(V_L_{Rmax} + V_L_{Rmin}) / 2$
Skvrnitost vaječné skořápky:	
Nskvrn	celkový počet skvrn ve výřezu
Sskvrn	celkový obsah skvrn ve výřezu [pixel]
PrumSskvrn	průměrný obsah jedné skvrny ve výřezu [pixel]
ProcSskvrn	procentické zastoupení skvrn v celkové velikosti výřezu [%]
H	hue (tón, odstín) pro protoporfyrinové skvrny
S	saturace (sytnost, chroma) pro protoporfyrinové skvrny
B	brightness (reflektance, jas) pro protoporfyrinové skvrny

Příloha č. 4: Hodnoty repeatability pro parametry barvy karotenoidního ornamentu samic (n = 60).

Parametr barvy	Repeatabilita	Parametr barvy	Repeatabilita
B ₁	0.8611	V_R _{max}	0.7706
B ₂	0.8611	V_R _{min}	0.9045
UV_sumaR	0.8645	V_R _{average}	0.8477
Y_sumaR	0.8101	V_chroma_S ₈	0.7103
V_sumaR	0.8477	V_chroma_S ₁	0.5379
UV_R _{max}	0.8704	UV_L _{Rmax}	0.4477
UV_R _{min}	0.7145	UV_L _{Rmin}	0.0337
UV_R _{average}	0.8645	UV_L _{R1/2}	0.4244
UV_chroma_S ₈	0.3550	Y_L _{Rmax}	- 0.0195
UV_chroma_S ₁	0.5379	Y_L _{Rmin}	- 0.0701
Y_chroma_S ₁	0.6155	Y_L _{R1/2}	- 0.0738
R ₄₅₀	0.9040	V_L _{Rmax}	0.1680
R ₇₀₀	0.7717	V_L _{Rmin}	0.1435
Caroten_chroma	0.7091	V_L _{R1/2}	0.1943

Příloha č. 5: Hodnoty repeatability pro parametry podkladové barvy (n = 218) a skvrnitosti vaječné skořápky (n = 20; pro H, S a B: n = 44).

Parametr barvy	Repeatabilita	Parametr barvy	Repeatabilita
B ₁	0.8408	V_R _{min}	0.7724
B ₂	0.8408	V_R _{average}	0.8726
UV_sumaR	0.7053	V_chroma_S ₈	0.5334
V_sumaR	0.8726	V_chroma_S ₁	0.6320
UV_R _{max}	0.7401	UV_L _{Rmax}	0.6083
UV_R _{min}	0.6393	UV_L _{Rmin}	0.0000
UV_R _{average}	0.7053	UV_L _{R1/2}	0.6093
UV_chroma_S ₈	0.5462	V_L _{Rmax}	0.1275
UV_chroma_S ₁	0.6320	V_L _{Rmin}	0.9367
V_R _{max}	0.9192	V_L _{R1/2}	0.3746
Parametr skvrnitosti	Repeatabilita	Parametr skvrnitosti	Repeatabilita
Nskvrn	0.6380	H	0.8660
Sskvrn	0.8881	S	0.9500
PrumSskvrn	0.8488	B	0.9050
ProcSskvrn	0.8881		

Příloha č. 6: Korelační matice parametrů barvy karotenoidního ornamentu samic (Spearmanův korelační koeficient r_s , $n = 93$; zvýrazněné korelace jsou průkazné na hladině $p < 0.05$; jako významné korelace jsou brány hodnoty $r_s \geq 0.6$).

	(1)	(2)	(3)	(4)	(5)	(6)	(7)	(8)	(9)	(10)
B₁ (1)	1.00	1.00	0.97	0.99	1.00	0.97	0.89	0.97	- 0.55	0.49
B₂ (2)		1.00	0.97	0.99	1.00	0.97	0.89	0.97	- 0.55	0.49
UV_sumaR (3)			1.00	0.94	0.95	1.00	0.94	1.00	- 0.65	0.68
Y_sumaR (4)				1.00	0.99	0.94	0.86	0.94	- 0.54	0.44
V_sumaR (5)					1.00	0.96	0.87	0.95	- 0.52	0.45
UV_R_{max} (6)						1.00	0.93	1.00	- 0.61	0.65
UV_R_{min} (7)							1.00	0.94	- 0.83	0.72
UV_R_{average} (8)								1.00	- 0.65	0.68
UV_chroma_S₈ (9)									1.00	- 0.71
UV_chroma_S₁ (10)										1.00
Y_chroma_S₁ (11)										
R₄₅₀ (12)										
R₇₀₀ (13)										
Caroten_chroma (14)										
V_R_{max} (15)										
V_R_{min} (16)										
V_R_{average} (17)										
V_chroma_S₈ (18)										
V_chroma_S₁ (19)										
UV_L_{Rmax} (20)										
UV_L_{Rmin} (21)										
UV_L_{R1/2} (22)										
Y_L_{Rmax} (23)										
Y_L_{Rmin} (24)										
Y_L_{R1/2} (25)										
V_L_{Rmax} (26)										
V_L_{Rmin} (27)										
V_L_{R1/2} (28)										
	(11)	(12)	(13)	(14)	(15)	(16)	(17)	(18)	(19)	(20)
B₁ (1)	- 0.39	0.89	0.97	- 0.31	0.98	0.88	1.00	- 0.36	- 0.49	- 0.12
B₂ (2)	- 0.39	0.89	0.97	- 0.31	0.98	0.88	1.00	- 0.36	- 0.49	- 0.12

	(11)	(12)	(13)	(14)	(15)	(16)	(17)	(18)	(19)	(20)
UV_sumaR (3)	- 0.49	0.86	0.91	- 0.35	0.91	0.86	0.95	- 0.40	- 0.68	- 0.23
Y_sumaR (4)	- 0.27	0.83	0.99	- 0.20	0.99	0.82	0.99	- 0.26	- 0.44	- 0.15
V_sumaR (5)	- 0.37	0.89	0.98	- 0.31	0.98	0.88	1.00	- 0.36	- 0.45	- 0.08
UV_R _{max} (6)	- 0.50	0.88	0.91	- 0.37	0.92	0.88	0.96	- 0.42	- 0.65	- 0.19
UV_R _{min} (7)	- 0.45	0.76	0.84	- 0.27	0.84	0.76	0.87	- 0.33	- 0.72	- 0.35
UV_R _{average} (8)	- 0.49	0.86	0.91	- 0.35	0.91	0.86	0.95	- 0.40	- 0.68	- 0.23
UV_chroma_S ₈ (9)	0.28	- 0.40	- 0.53	0.07	- 0.52	- 0.40	- 0.52	0.12	0.71	0.54
UV_chroma_S ₁ (10)	- 0.55	0.45	0.37	- 0.29	0.38	0.46	0.45	- 0.34	- 1.00	- 0.49
Y_chroma_S ₁ (11)	1.00	- 0.69	- 0.24	0.90	- 0.25	- 0.70	- 0.37	0.90	0.55	- 0.28
R ₄₅₀ (12)		1.00	0.80	- 0.68	0.80	1.00	0.89	- 0.71	- 0.45	0.19
R ₇₀₀ (13)			1.00	- 0.15	1.00	0.79	0.98	- 0.21	- 0.37	- 0.15
Caroten_chroma (14)				1.00	- 0.16	- 0.69	- 0.31	0.99	0.29	- 0.54
V_R _{max} (15)					1.00	0.80	0.98	- 0.20	- 0.38	- 0.15
V_R _{min} (16)						1.00	0.88	- 0.72	- 0.46	0.20
V_R _{average} (17)							1.00	- 0.36	- 0.45	- 0.08
V_chroma_S ₈ (18)								1.00	0.34	- 0.50
V_chroma_S ₁ (19)									1.00	0.49
UV_L _{Rmax} (20)										1.00
UV_L _{Rmin} (21)										
UV_L _{R1/2} (22)										
Y_L _{Rmax} (23)										
Y_L _{Rmin} (24)										
Y_L _{R1/2} (25)										
V_L _{Rmax} (26)										
V_L _{Rmin} (27)										
V_L _{R1/2} (28)										

	(21)	(22)	(23)	(24)	(25)	(26)	(27)	(28)
B ₁ (1)	- 0.60	- 0.15	0.02	- 0.14	- 0.15	- 0.21	- 0.09	- 0.20
B ₂ (2)	- 0.60	- 0.15	0.02	- 0.14	- 0.15	- 0.21	- 0.09	- 0.20
UV_sumaR (3)	- 0.58	- 0.26	- 0.04	- 0.06	- 0.09	- 0.21	- 0.03	- 0.17
Y_sumaR (4)	- 0.61	- 0.18	0.02	- 0.16	- 0.18	- 0.23	- 0.09	- 0.21
V_sumaR (5)	- 0.59	- 0.12	0.02	- 0.16	- 0.17	- 0.20	- 0.10	- 0.20
UV_R _{max} (6)	- 0.57	- 0.22	- 0.04	- 0.05	- 0.08	- 0.21	- 0.04	- 0.18
UV_R _{min} (7)	- 0.60	- 0.38	- 0.02	- 0.10	- 0.14	- 0.11	- 0.02	- 0.07
UV_R _{average} (8)	- 0.58	- 0.26	- 0.04	- 0.06	- 0.09	- 0.21	- 0.03	- 0.17

	(1)	(2)	(3)	(4)	(5)	(6)	(7)	(8)	(9)	(10)
V_R _{min} (11)										
V_R _{average} (12)										
V_chroma_S ₈ (13)										
V_chroma_S ₁ (14)										
UV_L _{Rmax} (15)										
UV_L _{Rmin} (16)										
UV_L _{R1/2} (17)										
V_L _{Rmax} (18)										
V_L _{Rmin} (19)										
V_L _{R1/2} (20)										
Nskvrn (21)										
Sskvrn (22)										
PrumSskvrn (23)										
ProcSskvrn (24)										
H (25)										
S (26)										
B (27)										

	(11)	(12)	(13)	(14)	(15)	(16)	(17)	(18)	(19)	(20)
B ₁ (1)	0.95	0.99	-0.13	0.14	0.33	-0.13	0.40	0.02	-0.04	0.18
B ₂ (2)	0.95	0.99	-0.13	0.14	0.33	-0.13	0.40	0.02	-0.04	0.18
UV_sumaR (3)	0.97	0.91	-0.25	-0.06	0.11	-0.13	0.20	0.05	-0.10	0.07
V_sumaR (4)	0.92	1.00	-0.08	0.21	0.39	-0.13	0.45	0.01	-0.02	0.22
UV_R _{max} (5)	0.87	0.96	-0.08	0.11	0.31	-0.14	0.39	-0.14	0.11	0.24
UV_R _{min} (6)	0.72	0.67	-0.25	-0.29	-0.13	-0.05	-0.04	0.01	0.08	0.13
UV_R _{average} (7)	0.97	0.91	-0.25	-0.06	0.11	-0.13	0.20	0.05	-0.10	0.07
UV_chroma_S ₈ (8)	0.04	0.20	0.44	0.75	0.71	-0.25	0.60	-0.14	0.00	0.04
UV_chroma_S ₁ (9)	-0.03	-0.21	-0.62	-1.00	-0.83	0.17	-0.72	-0.17	0.22	-0.03
V_R _{max} (10)	0.79	0.95	0.16	0.33	0.50	-0.11	0.56	-0.07	0.10	0.26
V_R _{min} (11)	1.00	0.92	-0.30	0.03	0.19	-0.16	0.26	0.13	-0.21	0.03
V_R _{average} (12)		1.00	-0.08	0.21	0.39	-0.13	0.45	0.01	-0.02	0.22
V_chroma_S ₈ (13)			1.00	0.62	0.44	0.01	0.40	-0.09	0.13	0.04
V_chroma_S ₁ (14)				1.00	0.83	-0.17	0.72	0.17	-0.22	0.03
UV_L _{Rmax} (15)					1.00	-0.10	0.94	-0.12	0.03	0.13
UV_L _{Rmin} (16)						1.00	0.07	0.01	0.23	0.31
UV_L _{R1/2} (17)							1.00	-0.14	0.08	0.19

	(11)	(12)	(13)	(14)	(15)	(16)	(17)	(18)	(19)	(20)
V_LRmax (18)								1.00	-0.58	0.16
V_LRmin (19)									1.00	0.54
V_LR1/2 (20)										1.00
Nskvrn (21)										
Sskvrn (22)										
PrumSskvrn (23)										
ProcSskvrn (24)										
H (25)										
S (26)										
B (27)										

	(21)	(22)	(23)	(24)	(25)	(26)	(27)
B ₁ (1)	0.27	0.19	0.02	0.19	-0.05	0.32	0.06
B ₂ (2)	0.27	0.19	0.02	0.19	-0.05	0.32	0.06
UV_sumaR (3)	0.21	0.15	0.02	0.15	-0.01	0.30	0.12
V_sumaR (4)	0.26	0.17	0.01	0.17	-0.07	0.32	0.04
UV_Rmax (5)	0.30	0.15	-0.05	0.15	-0.04	0.35	0.07
UV_Rmin (6)	0.25	0.18	-0.02	0.18	0.14	0.28	0.20
UV_Raverage (7)	0.21	0.15	0.02	0.15	-0.01	0.30	0.12
UV_chroma_S ₈ (8)	-0.10	-0.13	0.00	-0.13	-0.24	0.01	-0.18
UV_chroma_S ₁ (9)	0.01	0.05	-0.04	0.05	0.17	-0.03	0.20
V_Rmax (10)	0.26	0.13	-0.03	0.13	-0.09	0.31	-0.04
V_Rmin (11)	0.18	0.16	0.06	0.16	-0.04	0.28	0.13
V_Raverage (12)	0.26	0.17	0.01	0.17	-0.07	0.32	0.04
V_chroma_S ₈ (13)	-0.07	-0.05	0.02	-0.05	-0.01	-0.10	-0.29
V_chroma_S ₁ (14)	-0.01	-0.05	0.04	-0.05	-0.17	0.03	-0.20
UV_LRmax (15)	0.03	-0.01	0.05	-0.01	-0.14	0.11	-0.14
UV_LRmin (16)	0.07	-0.01	-0.09	-0.01	0.16	-0.12	0.03
UV_LR1/2 (17)	0.05	-0.01	0.02	-0.01	-0.11	0.18	-0.13
V_LRmax (18)	0.00	0.04	0.04	0.04	-0.03	-0.06	0.04
V_LRmin (19)	0.10	-0.08	-0.21	-0.08	0.00	0.02	-0.08
V_LR1/2 (20)	0.26	-0.03	-0.27	-0.03	-0.05	0.03	-0.03
Nskvrn (21)	1.00	0.71	0.10	0.71	0.02	0.31	0.11
Sskvrn (22)		1.00	0.68	1.00	0.05	0.23	0.01
PrumSskvrn (23)			1.00	0.68	-0.01	0.09	-0.15
ProcSskvrn (24)				1.00	0.05	0.23	0.01

	(21)	(22)	(23)	(24)	(25)	(26)	(27)
H (25)					1.00	- 0.42	0.56
S (26)						1.00	- 0.36
B (27)							1.00

Příloha č. 8: Korelační matice vysvětlujících proměnných pro analýzy vaječné skořápky (Spearmanův korelační koeficient r_s , $n = 82$; zvýrazněné korelace jsou průkazné na hladině $p < 0.05$; jako významné korelace jsou brány hodnoty $r_s \geq 0.6$).

	(1)	(2)	(3)	(4)	(5)	(6)
Plocha pruhu (1)	1.00	- 0.23	- 0.10	- 0.01	- 0.13	0.11
Caroten_chroma (2)		1.00	0.13	- 0.18	0.01	- 0.03
Délka tarsu (3)			1.00	- 0.20	0.01	- 0.15
BMI (4)				1.00	0.11	0.09
Velikost snůšky (5)					1.00	- 0.10
První vejce (6)						1.00

Příloha č. 9: Explorativní analýza dat.

Proměnná	Průměr	Minimum	Maximum	SE	CV [%]
Kondiční znaky, melaninový a karotenoidní ornament samic (n = 82)					
Délka tarsu	22.22	20.43	23.50	0.076	3.08
BMI	0.80	0.65	0.91	0.005	6.10
Plocha pruhu	271.00	143.60	392.20	6.650	22.22
Caroten_chroma	0.53	0.35	0.65	0.007	12.68
Podkladová barva vaječné skořápky (n = 80)					
B ₁	28840.00	12 230.00	41 160.00	731.488	22.69
UV_chroma_S ₁	0.22	0.17	0.25	0.002	8.58
Skvrnitost vaječné skořápky (n = 81; pro S a B: n = 78)					
ProcSskvrn	10.09	0.84	25.57	0.541	48.21
H	15.99	8.30	27.10	0.447	24.68
S	27.72	14.20	37.50	0.520	16.56
B	84.17	74.70	93.70	0.483	5.06
Ostatní parametry (n = 82)					
Velikost snůšky	9.66	6.00	13.0	0.163	15.28
První vejce	12.46	1.00	25.00	0.425	30.86

Příloha č. 10: Obecné zadání lineárního modelu se smíšeným efektem pro závislost parametrů podkladové barvy či skvrnitosti vaječné skořápky (GLMM, knihovna nlme).

```
> library(nlme)

> model<-lme(vysvetlovana_promenna~(pevny_efekt_1 +...+ pevny_efekt_5) ^2,
  random=~1|rok)
```

Příloha č. 11: Výsledky lineárního smíšeného modelu pro závislost celkového jasu (B_1) podkladové barvy vaječné skořápky, náhodný efekt: sezóna odchyty ($n = 80$, $DF = 63$; zvýrazněné proměnné = členy minimálního adekvátního modelu).

	Směrnice	SE	t	p
(Intercept)	- 244 768.50	184 711.13	- 1.3251	0.190
BMI	368 508.50	223 346.27	1.6499	0.104
Caroten_chroma	120 294.70	234 062.70	0.5139	0.609
Plocha pruhu	139.40	242.36	0.5753	0.567
První vejce	7 116.70	4 865.23	1.4628	0.149
Velikost snůšky	5 378.70	7 754.88	0.6936	0.491
BMI : caroten_chroma	- 188 662.00	264 188.97	- 0.7141	0.478
BMI : plocha pruhu	- 101.70	291.92	- 0.3484	0.729
BMI : první vejce	- 8 086.40	5 137.83	- 1.5739	0.121
BMI : velikost snůšky	- 11 211.50	8 494.66	- 1.3198	0.192
Caroten_chroma : plocha pruhu	- 54.30	171.49	- 0.3165	0.753
Caroten_chroma : první vejce	- 993.90	2 819.06	- 0.3526	0.726
Caroten_chroma : velikost snůšky	5 476.80	6 600.81	0.8297	0.410
Plocha pruhu : první vejce	- 2.30	3.20	- 0.7223	0.473
Plocha pruhu : velikost snůšky	0.20	7.89	0.0271	0.978
První vejce : velikost snůšky	12.10	113.02	0.1068	0.915

Příloha č. 12: Výsledky lineárního smíšeného modelu pro závislost chroma pro UV oblast světelného spektra (UV_chroma_S₁) podkladové barvy vaječné skořápky, náhodný efekt: sezóna odchyty (n = 80, DF = 63; zvýrazněné proměnné = členy minimálního adekvátního modelu).

	Směrnice	SE	t	p
(Intercept)	0.77561	0.58276	1.3309	0.188
Plocha pruhu	-0.00127	0.00072	-1.7572	0.084
BMI	-0.85088	0.71018	-1.1981	0.235
První vejce	-0.00460	0.01586	-0.2902	0.773
Velikost snůšky	0.02605	0.02468	1.0556	0.295
Caroten_chroma	-0.60737	0.76203	-0.7970	0.428
Plocha pruhu : BMI	0.00146	0.00090	1.6258	0.109
Plocha pruhu : první vejce	-0.00001	0.00001	-0.9692	0.336
Plocha pruhu : velikost snůšky	-0.00001	0.00003	-0.2732	0.786
Plocha pruhu : caroten_chroma	0.00041	0.00056	0.7241	0.472
BMI : první vejce	0.01347	0.01667	0.8078	0.422
BMI : velikost snůšky	-0.01579	0.02705	-0.5836	0.562
BMI : caroten_chroma	0.90982	0.86073	1.0570	0.295
První vejce : velikost snůšky	0.00007	0.00037	0.1807	0.857
První vejce : caroten_chroma	-0.00517	0.00924	-0.5589	0.578
Velikost snůšky : caroten_chroma	-0.01970	0.02165	-0.9099	0.366

Příloha č. 13: Výsledky lineárního smíšeného modelu pro závislost procentického zastoupení skvrn v celkové velikosti výřezu (ProcSskvrn) vaječné skořápky, náhodný efekt: sezóna odchyty (n = 81, DF = 64; zvýrazněné proměnné = členy minimálního adekvátního modelu).

	Směrnice	SE	t	p
(Intercept)	91.1869	159.0251	0.5734	0.568
Velikost snůšky	8.7557	6.7096	1.3049	0.197
BMI	- 159.5769	193.0184	- 0.8267	0.412
Caroten_chroma	- 90.3281	197.2184	- 0.4580	0.649
První vejce	- 0.8137	4.2092	- 0.1933	0.847
Plocha pruhu	- 0.2294	0.2084	- 1.1007	0.275
Velikost snůšky : BMI	- 6.3291	7.3589	- 0.8601	0.393
Velikost snůšky : caroten_chroma	- 4.3044	5.6154	- 0.7665	0.446
Velikost snůšky : první vejce	0.0174	0.0962	0.1807	0.857
Velikost snůšky : plocha pruhu	- 0.0063	0.0069	- 0.9198	0.361
BMI : caroten_chroma	160.6151	225.4208	0.7125	0.479
BMI : první vejce	1.4161	4.4332	0.3194	0.750
BMI : plocha pruhu	0.4211	0.2516	1.6737	0.099
Caroten_chroma : první vejce	1.1568	2.4249	0.4771	0.635
Caroten_chroma : plocha pruhu	- 0.0025	0.1503	- 0.0163	0.987
První vejce : plocha pruhu	- 0.0037	0.0028	- 1.3076	0.196

Příloha č. 14: Výsledky lineárního smíšeného modelu pro závislost odstínu pro protoporphyrinové skvrny (H) vaječné skořápky, náhodný efekt: sezóna odchytu (n = 80, DF = 63, Box-Cox transformace: $\lambda = -0.15$; zvýrazněné proměnné = členy minimálního adekvátního modelu).

	Směrnice	SE	t	p
(Intercept)	- 0.72213	0.81653	- 0.8844	0.380
Plocha pruhu	0.00111	0.00104	1.0589	0.294
BMI	1.76044	0.99839	1.7633	0.083
Caroten_chroma	1.85382	1.02133	1.8151	0.074
První vejce	- 0.00056	0.02161	- 0.0261	0.979
Velikost snůšky	0.00432	0.03422	0.1262	0.900
Plocha pruhu : BMI	- 0.00119	0.00128	- 0.9253	0.358
Plocha pruhu : caroten_chroma	0.00053	0.00078	0.6765	0.501
Plocha pruhu : první vejce	- 0.00001	0.00001	- 0.3749	0.709
Plocha pruhu: velikost snůšky	- 0.00002	0.00004	- 0.6893	0.493
BMI : caroten_chroma	- 2.49048	1.17189	- 2.1252	0.038
BMI : první vejce	- 0.00211	0.02275	- 0.0928	0.926
BMI : velikost snůšky	- 0.00816	0.03758	- 0.2171	0.829
Caroten_chroma : první vejce	- 0.00274	0.01247	- 0.2195	0.827
Caroten_chroma : velikost snůšky	0.00364	0.02890	0.1261	0.900
První vejce : velikost snůšky	0.00052	0.00050	1.0450	0.300

(transformace dat záporným číslem: skutečné hodnoty směrnice jsou převrácenými hodnotami uvedenými v tomto modelu)

Příloha č. 15: Výsledky lineárního smíšeného modelu pro závislost sytosti pro protoporphyrinové skvrny (S) vaječné skořápky, náhodný efekt: sezóna odchytu (n = 80, DF = 63, Box-Cox transformace: $\lambda = 2.00$; zvýrazněné proměnné = členy minimálního adekvátního modelu).

	Směrnice	SE	t	p
(Intercept)	- 2 837.76	7 691.78	- 0.3689	0.713
Plocha pruhu	8.09	9.97	0.8115	0.420
BMI	2 044.77	9 387.74	0.2178	0.828
Caroten_chroma	5 945.92	9 556.55	0.6222	0.536
Velikost snůšky	125.14	322.05	0.3886	0.699
První vejce	- 113.02	202.30	- 0.5587	0.578
Plocha pruhu : BMI	- 4.68	12.17	- 0.3843	0.702
Plocha pruhu : caroten_chroma	- 1.18	7.26	- 0.1627	0.871
Plocha pruhu: velikost snůšky	- 0.05	0.33	- 0.1431	0.887
Plocha pruhu : první vejce	- 0.18	0.14	- 1.2938	0.201
BMI : caroten_chroma	- 6 233.91	10 963.25	- 0.5686	0.572
BMI : velikost snůšky	9.27	353.63	0.0262	0.979
BMI : první vejce	177.21	213.18	0.8313	0.409
Caroten_chroma : velikost snůšky	- 130.65	270.04	- 0.4838	0.630
Caroten_chroma : první vejce	99.76	116.59	0.8557	0.395
Velikost snůšky : první vejce	- 3.44	4.63	- 0.7435	0.460

Příloha č. 16: Výsledky lineárního smíšeného modelu pro závislost jasu pro protoporphyrinové skvrny (B) vaječné skořápky, náhodný efekt: sezóna odchytu (n = 80, DF = 63; zvýrazněné proměnné = členy minimálního adekvátního modelu).

	Směrnice	SE	t	p
(Intercept)	334.3135	138.7722	2.4091	0.019
Plocha pruhu	- 0.3672	0.1803	- 2.0362	0.046
Caroten_chroma	- 338.9820	172.2134	- 1.9684	0.053
První vejce	4.8688	3.6458	1.3355	0.187
BMI	- 311.0381	169.3152	- 1.8370	0.071
Velikost snůšky	- 2.8934	5.8092	- 0.4981	0.620
Plocha pruhu : caroten_chroma	- 0.0504	0.1309	- 0.3851	0.702
Plocha pruhu : první vejce	0.0004	0.0025	0.1636	0.871
Plocha pruhu : BMI	0.4389	0.2197	1.9981	0.050
Plocha pruhu: velikost snůšky	0.0013	0.0060	0.2116	0.833
Caroten_chroma : první vejce	- 1.3286	2.1005	- 0.6325	0.529
Caroten_chroma : BMI	444.0041	197.5563	2.2475	0.028
Caroten_chroma : velikost snůšky	1.8437	4.8651	0.3790	0.706
První vejce : BMI	- 5.0212	3.8427	- 1.3067	0.196
První vejce : velikost snůšky	- 0.0460	0.0834	- 0.5518	0.583
BMI : velikost snůšky	2.5891	6.3788	0.4059	0.686

Příloha č. 17: Fotodokumentace.

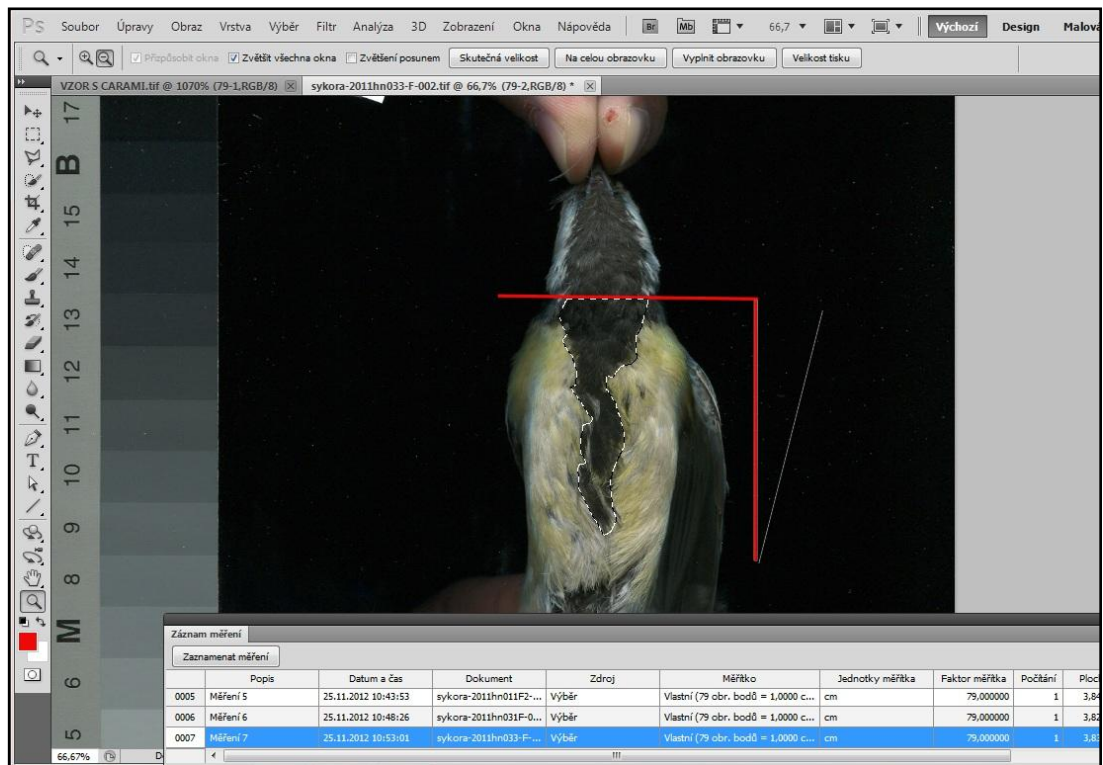


Hnízdní budka pro sýkory koňadry.

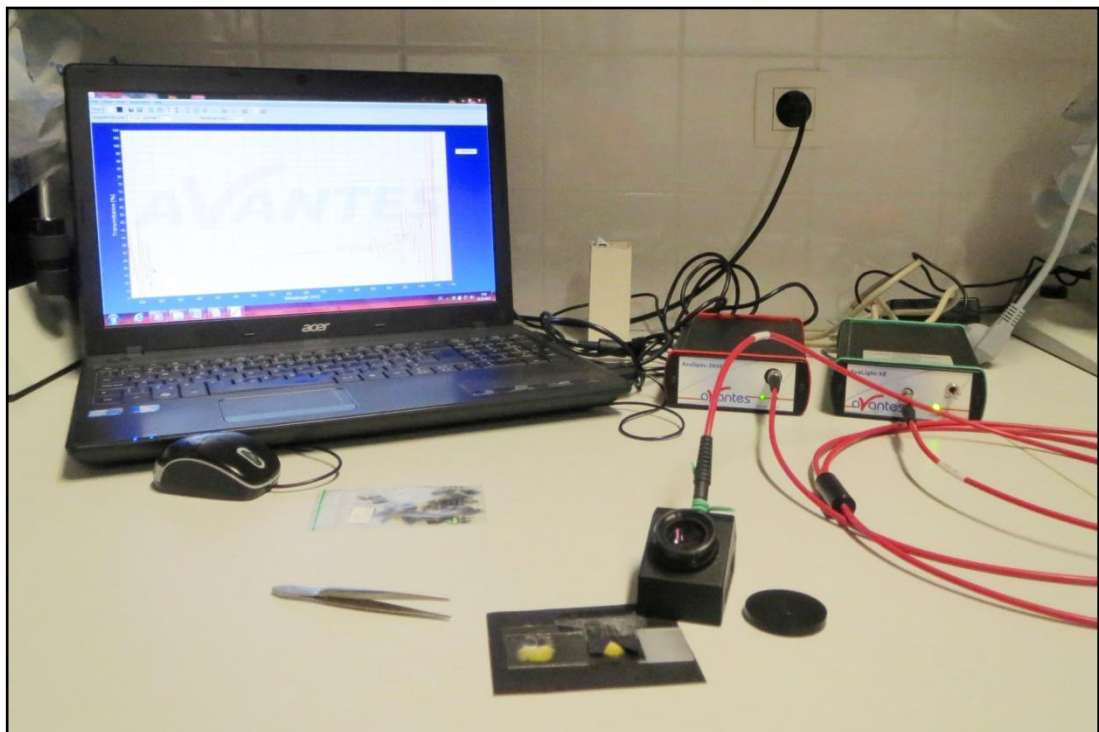
Odchyt samic do ornitologických sítí.



Samice sýkory koňadry.



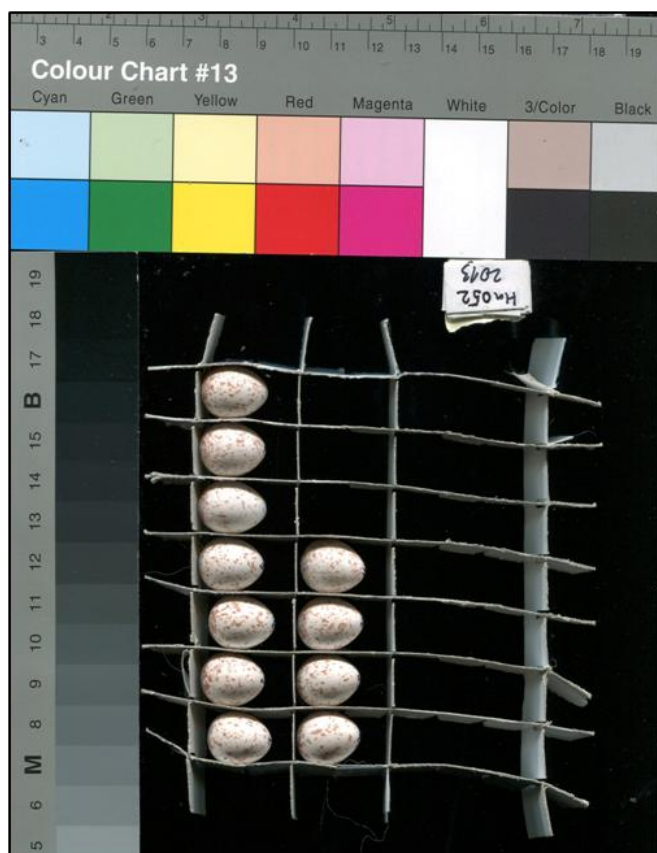
Měření plochy břišního melaninového pruhu samic sýkory koňadry.



Měření reflektance per karotenoidního ornamentu samic sýkory koňadry.



Snůška sýkory koňadry v hnízdní budce.



Měření skvrnitosti vaječné skořápky sýkory koňadry.

